

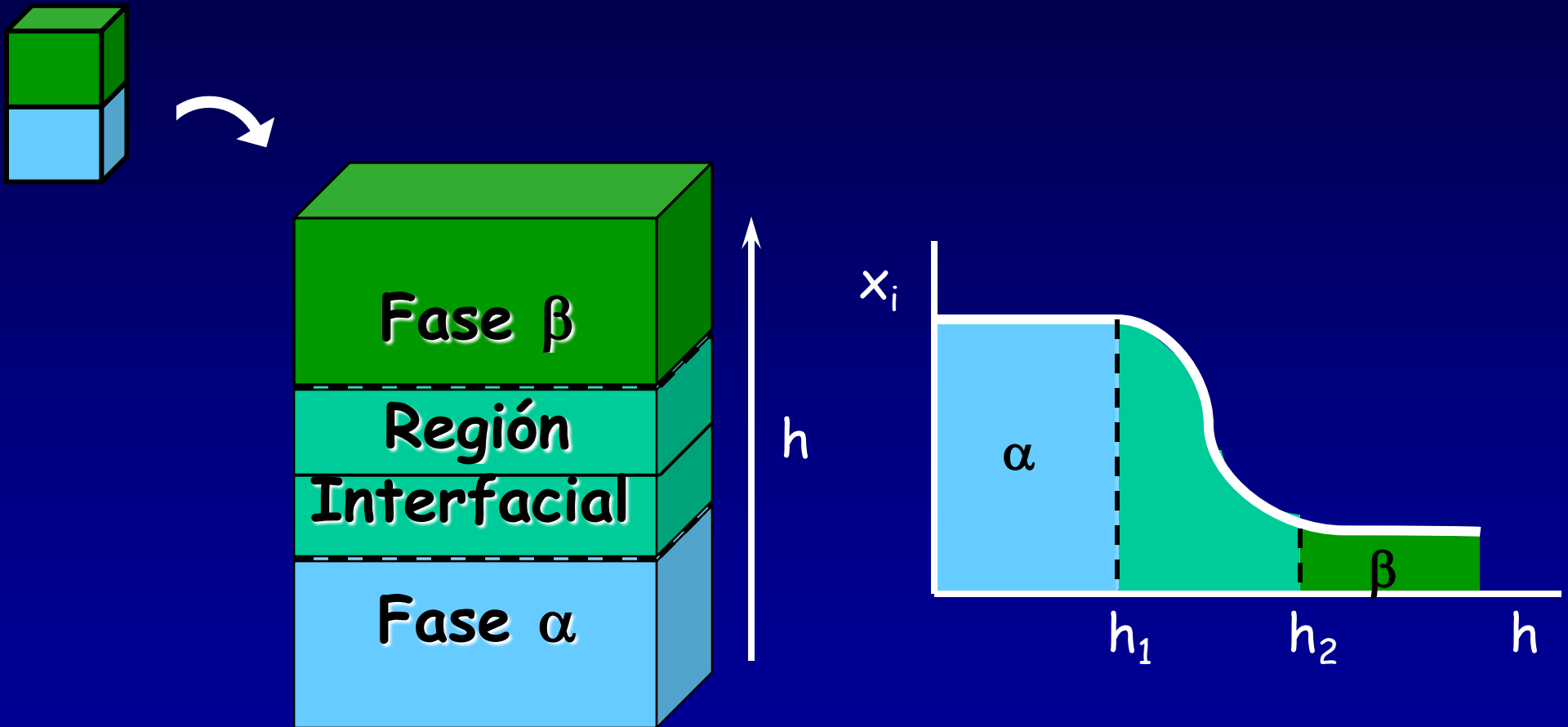
Índice

- 1- La interfase.
- 2- Tensión Superficial.
- 3- Interfases Curvas.
 - 3.1. Ecuación de Young-Laplace.
 - 3.2. Presión de vapor y ecuación de Kelvin.
 - 3.3. Capilaridad.
- 4- Termodinámica de superficies en sistemas multicomponentes: Isoterma de adsorción de Gibbs.
- 5- Monocapas

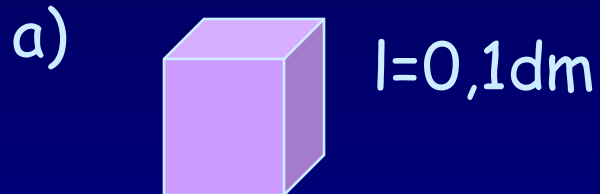
Bibliografía

- Levine 'FisicoQuímica'. Tema 13. 4^a Ed.
- Díaz-Peña. 'Química Física'. Tema 25.
- Rodríguez-Renuncio et al. 'Termodinámica Química'. Tema 17.

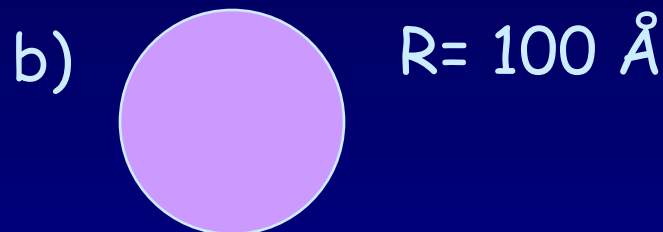
1. La interfase



- En la mayoría de situaciones la cantidad de materia superficial de un sistema es despreciable
- En algunos casos los sistemas presentan una gran relación superficie/volumen y las propiedades de la interfase serán decisivas



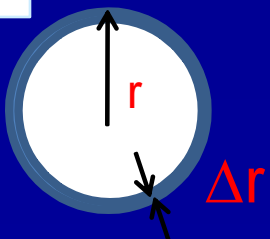
$$\left. \begin{array}{l} A=0,06\text{ m}^2 \\ V=10^{-3}\text{ m}^3 \end{array} \right\} A/V=60\text{ m}^{-1}$$



$$\left. \begin{array}{l} A= 1,26\times 10^{-15}\text{ m}^2 \\ V= 4,19\times 10^{-24}\text{ m}^3 \end{array} \right\} A/V=3,01\times 10^8\text{ m}^{-1}$$

$$\frac{\text{matsup.}}{\text{mattotal}} \approx \frac{\text{Volumen superficial}}{\text{Volumen total}} = \frac{\text{Area} \times \text{EspesorCapaSup.}}{\text{Volumen total}} = \frac{0,06\text{m}^2 \cdot 10^{-9}\text{m}}{10^{-3}\text{m}^3} = 6 \times 10^{-8}$$

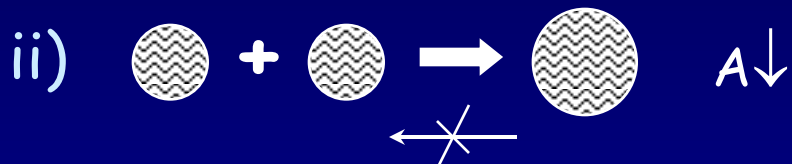
$$\frac{\text{matsup.}}{\text{mattotal}} = \frac{4/3\pi r^3 - 4/3\pi(r - \Delta r)^3}{4/3\pi r^3} = 1 - \left(\frac{r - \Delta r}{r} \right)^3 = 1 - \left(\frac{100 - 10}{100} \right)^3 = 0,271$$



2. Tensión Superficial

a) Punto de vista macroscópico:

todo sistema tiende espontáneamente a reducir su superficie



Cada Esfera Inicial

$$m_1 = \frac{4}{3}\pi r_1^3 \rho$$

$$V_1 = \frac{4}{3}\pi r_1^3$$

$$A_1 = 4\pi r_1^2$$

Esfera Final

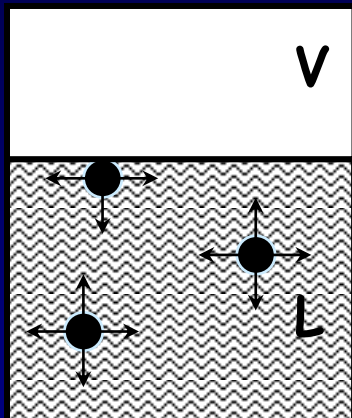
$$m_2 = 2 \times m_1 = 2 \times \left(\frac{4}{3}\pi r_1^3 \rho\right)$$

$$V_2 = 2 \times V_1 = 2 \times \frac{4}{3}\pi r_1^3 = \frac{4}{3}\pi r_2^3 \rightarrow r_2 = 1,59r_1$$

$$A_2 = 4\pi r_2^2 = 4\pi(1,59r_1)^2 < 2(4\pi r_1^2) \rightarrow < 20,5\%$$



b) Punto de vista molecular



Las moléculas superficiales :

- ➡ sufren una fuerza promedio hacia el interior
- ➡ tienen una energía media superior a las del interior

Aumentar superficie interfacial requiere un trabajo

$$dA \propto dN$$

$$dw_{rev} \propto dN$$

$$dw_{rev} = \gamma dA$$

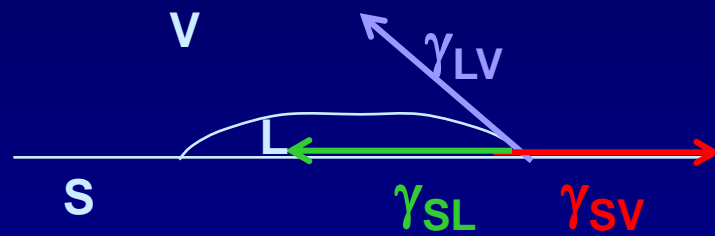
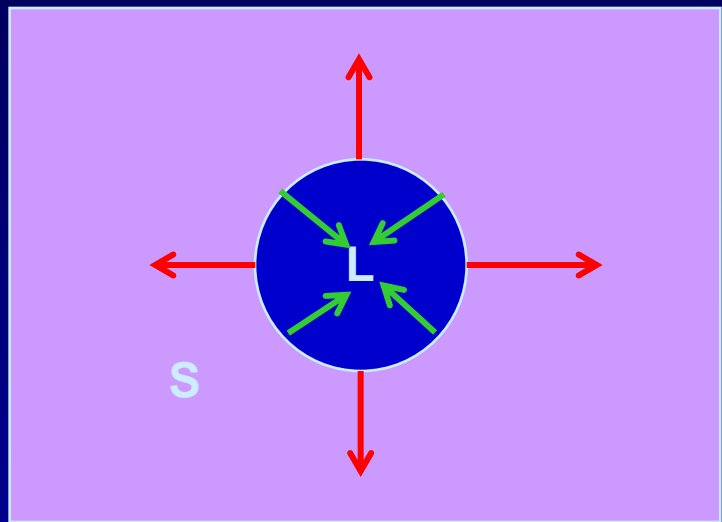
γ = Tensión Superficial

Características de la tensión superficial:

1. su valor es siempre positivo
$$dw_{rev} = \gamma dA$$
2. su valor depende de las dos fases
3. tiene unidades de energía/área o fuerza/longitud: $Jm^{-2}=Nm^{-1}$
4. se puede interpretar como una fuerza por unidad de longitud

2. Tensión Superficial

✓ Fuerza por unidad de longitud



Características de la tensión superficial:

1. su valor es siempre positivo
2. su valor depende de las dos fases
3. tiene unidades de energía/área o fuerza/longitud: $Jm^{-2}=Nm^{-1}$
4. se puede interpretar como una fuerza por unidad de longitud
5. depende de la intensidad de las interacciones intermoleculares

2. Tensión Superficial

✓ Depende de las interacciones intermoleculares

Valores de γ a 20 °C para diversos líquidos:

	n-hexano	benceno	etilenglicol	H_2O	Hg (l)
$\gamma \cdot 10^3$ (N/m)	18,43	28,85	47,7	72,75	472

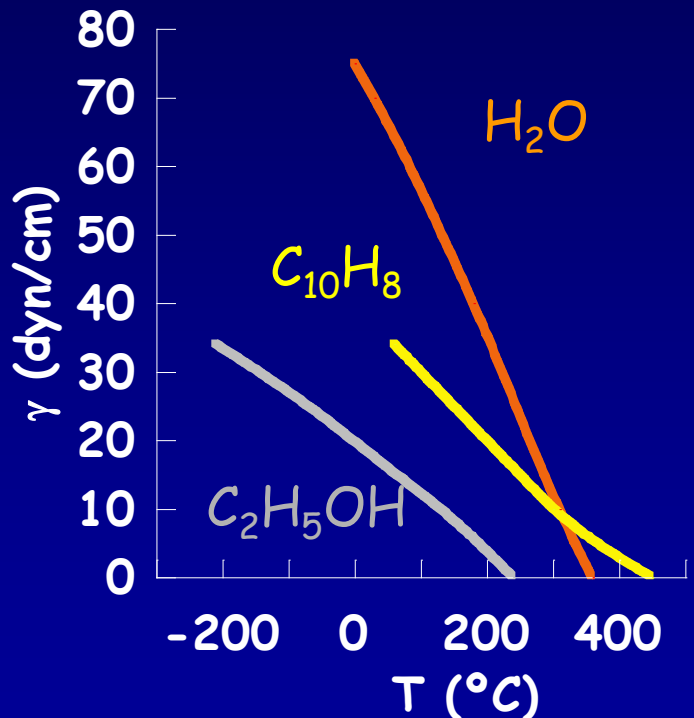
Características de la tensión superficial:

1. su valor es siempre positivo
2. su valor depende de las dos fases
3. tiene unidades de energía/área o fuerza/longitud: $Jm^{-2}=Nm^{-1}$
4. se puede interpretar como una fuerza por unidad de longitud
5. depende de la intensidad de las interacciones intermoleculares
6. depende de la temperatura

2. Tensión Superficial

✓ Variación de γ con la temperatura

Si $\uparrow T \downarrow \gamma$ hasta $T_c \rightarrow \gamma = 0$



Eötvös

$$\gamma = \frac{\kappa (T_c - T)}{V_m^{2/3}}$$

Van der Waals

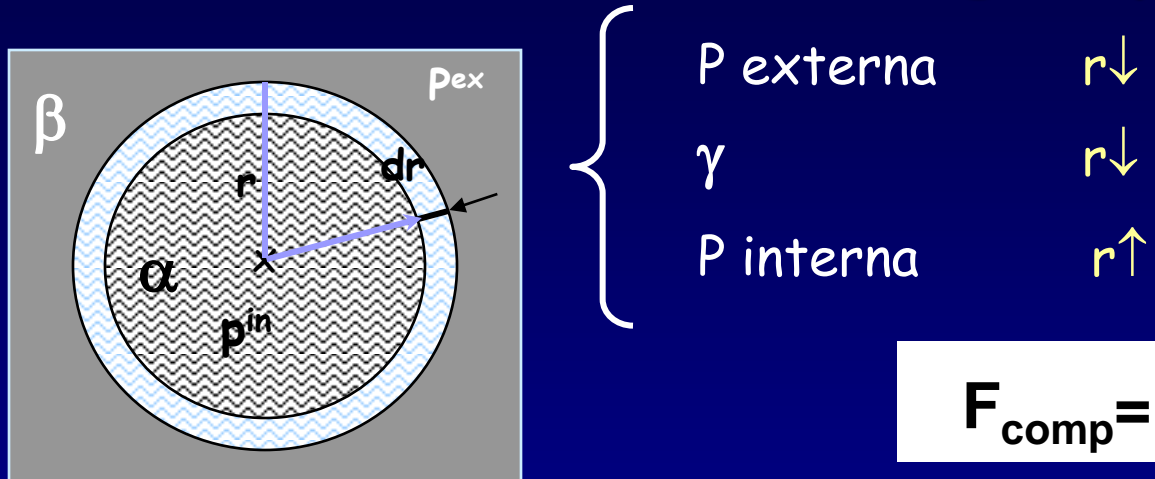
$$\gamma = \gamma_0 \left(1 - \frac{T}{T_c}\right)^n$$

Características de la tensión superficial:

1. su valor es siempre positivo
2. su valor depende de las dos fases
3. tiene unidades de energía/área o fuerza/longitud: $Jm^{-2}=Nm^{-1}$
4. se puede interpretar como una fuerza por unidad de longitud
5. depende de la intensidad de las interacciones intermoleculares
6. depende de la temperatura
7. desde el punto de vista termodinámico: $\gamma=(\delta G/\delta A)_{P,T}$

3. Interfases Curvas

3.1. Ecuación Young-Laplace



$$F_{comp} = F_{exp} \quad \text{equilibrio}$$

$$F_{exp} = AP_{in} = 4\pi r^2 P_{in}$$

$$F_{comp} = AP_{ex} + F_\gamma = AP_{ex} + \frac{dw}{dr} =$$

$$= 4\pi r^2 P_{ex} + \frac{\gamma dA}{dr} = 4\pi r^2 P_{ex} + \gamma \frac{8\pi r dr}{dr}$$

$$4\pi r^2 P_{ex} + 8\pi r \gamma = 4\pi r^2 P_{in}$$

$$P_{in} - P_{ex} = \frac{2\gamma}{r}$$

Ec. Young-Laplace
(superficie esférica)

EXPRESIONES DE LA EC. YOUNG-LAPLACE

INTERFAZ ESFÉRICA

$$P_{in} - P_{ex} = \frac{2\gamma}{r}$$

- * γ y $r > 0 \rightarrow P_{in} > P_{ex} \rightarrow$ presión interior gota > exterior
presión interior burbuja > exterior

* INTERFAZ PLANA ($r \rightarrow \infty$) $P_{in} - P_{ex} = 0 \rightarrow P_{in} = P_{ex}$

* EFECTO MAYOR A MENOR RADIO

Ej: burbujas en agua

$$\gamma = 72,75 \text{ mN m}^{-1}$$

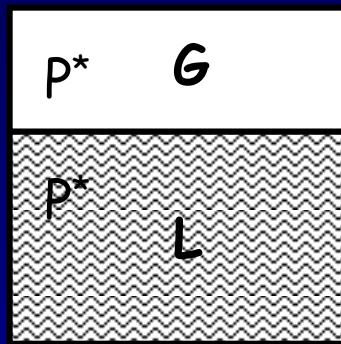
$$r = 1 \text{ mm} \quad \Delta P = 1,13 \text{ mmHg}$$

$$r = 0,1 \text{ mm} \quad \Delta P = 11,3 \text{ mmHg}$$

* EC. GENERAL (2 RADIOS, r_1 y r_2)

$$P_{in} - P_{ex} = 2\gamma \left(\frac{1}{r_1} + \frac{1}{r_2} \right)$$

3.2. Presión de Vapor en superficies curvas

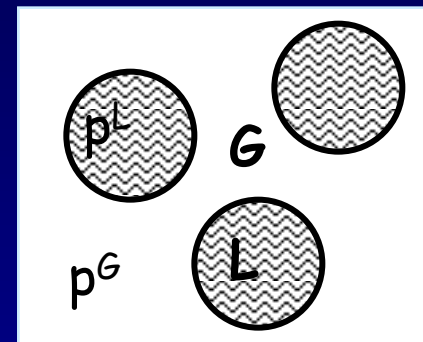


$$\mu^L = \mu^V$$

$$p^L = p^V = p^*$$

$T = cte.$

ΔP sobre el líquido



$$(\delta\mu/\delta P)_T = V_m$$

$$V_m > 0$$

$$\uparrow P \uparrow \mu^L$$

Se alcanza un nuevo equilibrio en el que
 $d\mu^L = d\mu^V$

3.2. Presión de Vapor en superficies curvas

$$\left. \begin{array}{l} d\mu^L = V_m^L dP^L \\ d\mu^V = V_m^V dP^V = \frac{RT}{P^V} dP^V \end{array} \right\}$$

$$V_m^L dP^L = \frac{RT}{P^V} dP^V$$



$$\int_{P^*}^{P+\Delta P} V_m^L dP^L = \int_{P^*}^P \frac{RT}{P^V} dP^V$$



$$V_m^L (P + \Delta P - P^*) = RT \ln \left(\frac{P}{P^*} \right) \Rightarrow \ln \left(\frac{P}{P^*} \right) = \frac{V_m^L}{RT} [(P - P^*) + \Delta P]$$



$$P = P^* \exp \left[\frac{V_m^L}{RT} [(P - P^*) + \Delta P] \right]$$

Si se forma una gota, la sobrepresión sobre el líquido es

$$\Delta P = P^L - P^V = P_{in} - P_{ex} = \frac{2\gamma}{r}$$

$$P = P^* \exp \frac{V_m^L}{RT} \left[(P - P^*) + \frac{2\gamma}{r} \right]$$

EJEMPLO (AGUA a 20°C) $P^* = 27,5 \text{ mmHg}$; $\gamma = 72,75 \text{ mN m}^{-1}$

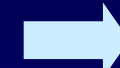
GOTA

$r (\text{nm})$	$p (\text{mmHg})$	$2\gamma/r (\text{mm Hg})$	$p-p^* (\text{mmHg})$	p/p^*
1000	27.53	1.09×10^3	0.0296	1.001
100	27.80	1.09×10^4	0.2297	1.011
1	80.54	1.09×10^5	53	2.92
0.5	235.80	2.18×10^5	208	8.48

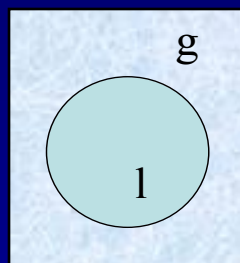
$$\ln\left(\frac{P}{P^*}\right) = \frac{V_m^L}{RT} \frac{2\gamma}{r}$$

3. Interfases Curvas

$$P = P^* \exp \frac{V_m^L}{RT} \left[(P - P^*) + \frac{2\gamma}{r} \right]$$

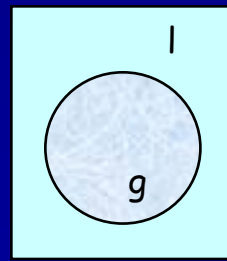


$$P = P^* \exp \left[\frac{V_m^L}{RT} \frac{2\gamma}{r} \right]$$



$$P = P^* \exp \left[2\gamma V_m^L / (rRT) \right]$$

Ec. Kelvin para gotas



$$P = P^* \exp \left[-2\gamma V_m^L / (rRT) \right]$$

Ec. Kelvin para burbujas

3. Interfases Curvas

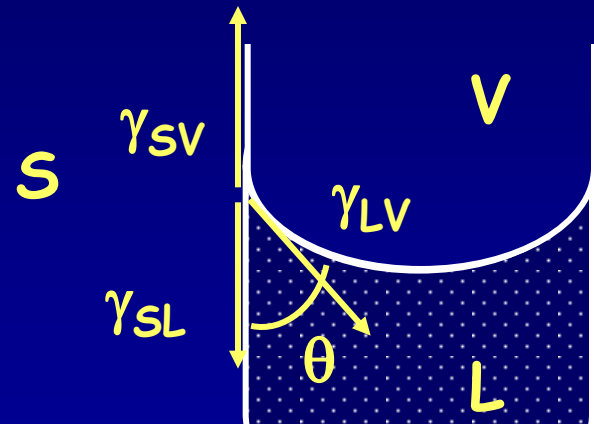
EJEMPLO (AGUA a 20°C) $P^*=27,5$ mmHg

	GOTA		BURBUJA	
r (nm)	p (mmHg)	p/ p*	p(mmHg)	p/ p*
1000	27.53	1.001	27.47	0.999
100	27.80	1.011	27.17	0.989
1	80.54	2.92	9.27	0.337
0.5	235.80	8.48	3.25	0.118

Consecuencias Ec. Kelvin

- ↳ • **SOBRESATURACIÓN**: Procesos evaporación ⇔ condensación (formación de nubes, lluvia artificial)
- ↳ • **SOBRECALENTAMIENTO** de líquidos (agua a 280°C)
- ↳ • **SUBENFRIAMIENTO** de líquidos (agua a -40°C)
- ↳ • **ENVEJECIMIENTO** de **PRECIPITADOS** (diferente solubilidad de cristales de distinto tamaño)
- ↳ • **BURBUJAS**: (al calentar un líquido, vaso con bebida carbónica, al abrir una botella de b.c.)

3.3. Capilaridad



$$\gamma_{SV} = \gamma_{SL} + \gamma_{LV} \cos\theta$$

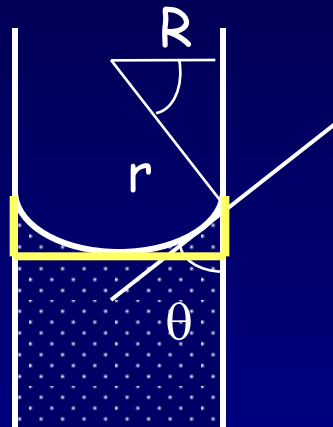
$$\cos\theta = \frac{\gamma_{SV} - \gamma_{SL}}{\gamma_{LV}}$$

$$\gamma_{SV} > \gamma_{SL} \quad \cos\theta > 0 \quad 0^\circ \leq \theta \leq 90^\circ$$

$$\gamma_{SG} < \gamma_{SL} \quad \cos\theta < 0 \quad 90^\circ \leq \theta \leq 180^\circ$$

3. Interfases Curvas

$$\gamma_{SV} > \gamma_{SL}$$

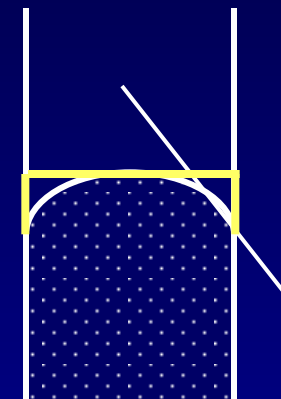


$$\cos \theta = \frac{\gamma_{SV} - \gamma_{SL}}{\gamma_{LV}}$$

$$\gamma_{SV} < \gamma_{SL}$$

$$R = r \cos \theta$$

(Menisco Esférico)



FF Adhesión > FF Cohesión

$$0 \leq \theta < 90^\circ$$

LÍQUIDO QUE **MOJA**

(mayoría de líquidos)

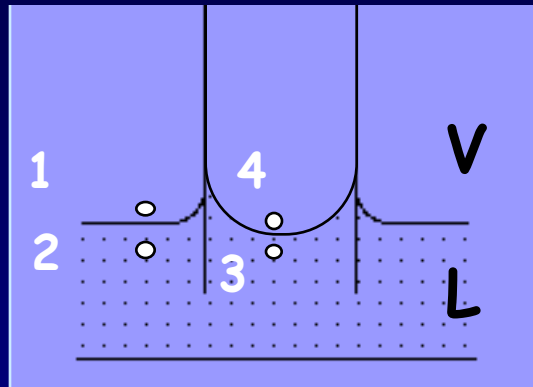
FF Adhesión < FF Cohesión

$$90 < \theta \leq 180^\circ$$

LÍQUIDO QUE **NO MOJA**

(mercurio)

LÍQUIDOS QUE MOJAN

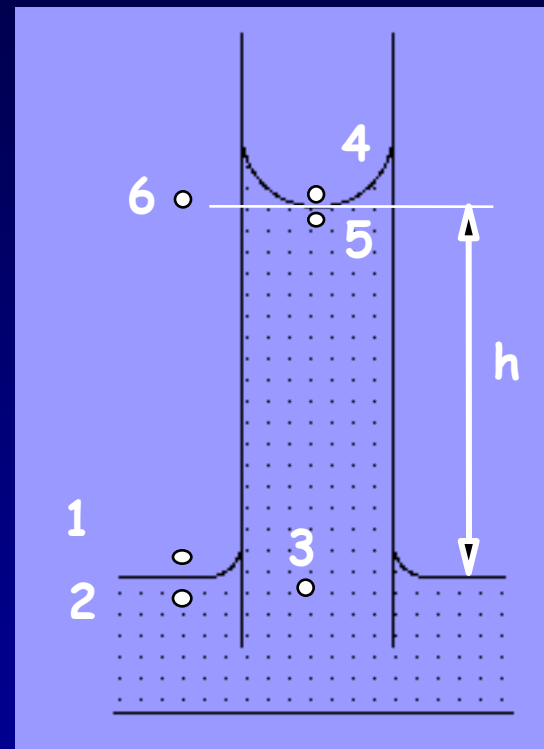


Int. Plana $P_1 = P_2 = P_4$

Int. Curva $P_3 < P_4$

$$P_3 < P_2 \rightarrow$$

$$h = \frac{2\gamma \cos\theta}{\rho_L g R}$$



$$P_3 = P_2$$

$$P_3 = P_5 + \rho_L gh = \left(P_4 - \frac{2\gamma}{r} \right) + \rho_L gh$$

$$P_2 = P_1 = P_6 + \rho_V gh = P_4 + \rho_V gh$$

$$P_4 - \frac{2\gamma}{r} + \rho_L gh = P_4 + \rho_V gh$$

$$h = \frac{2\gamma}{(\rho_L - \rho_V) g r}$$

$$R = r \cos\theta$$

$$h = \frac{2\gamma}{\rho_L g r}$$

$$\rho_L \gg \rho_V$$

EJEMPLO (AGUA a 20°C)

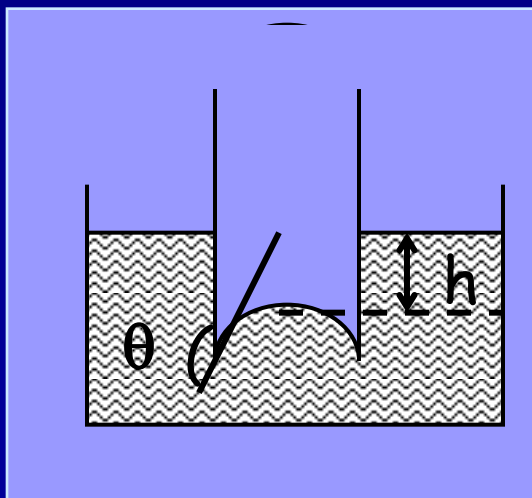
$$\cos \theta = 1$$

$$h = \frac{2 \gamma}{\rho_L g R}$$

R (cm)	h_{calc} (cm)	h_{exper} (cm)	error (%)
0.1	1.487	1.454	2.1
0.05	2.970	2.955	0.5
0.01	14.852	14.854	0.01

Ejemplos

- Ascenso savia (1000 Å → 148 m)
- Formación de rocío



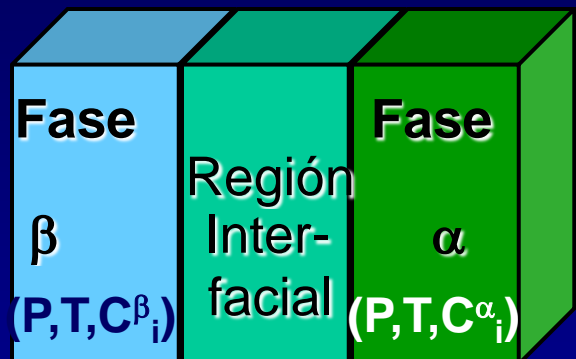
$90 < \theta \leq 180^\circ$ DESCENSO CAPILAR

$$h = \frac{2 \gamma \cos\theta}{(\rho_L - \rho_v) g R}$$

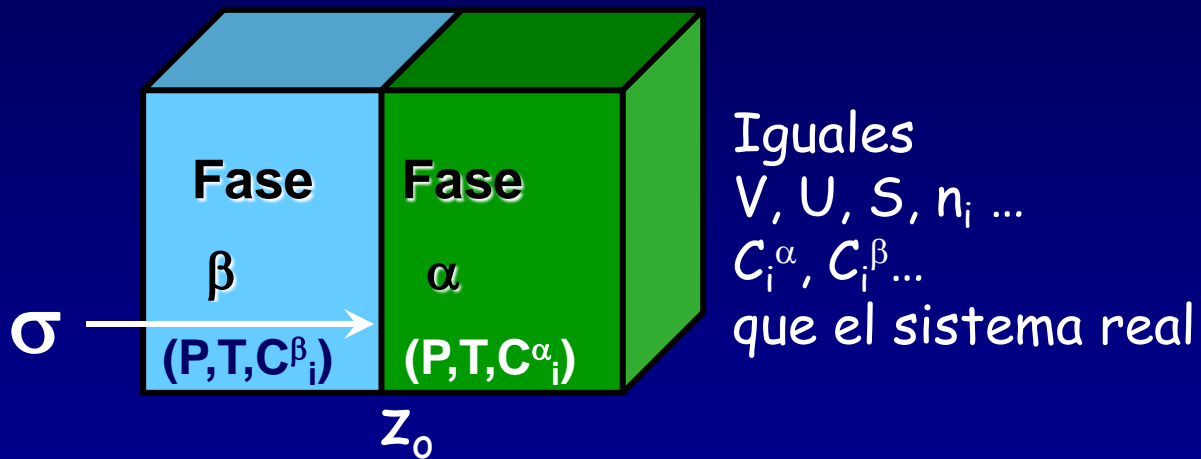
$$\begin{aligned} \cos \theta &< 0 \\ h &< 0 \end{aligned}$$

4. Termodinámica de Superficies en Sistemas Multicomponentes

Sistema Real



Modelo: Superficie de Gibbs



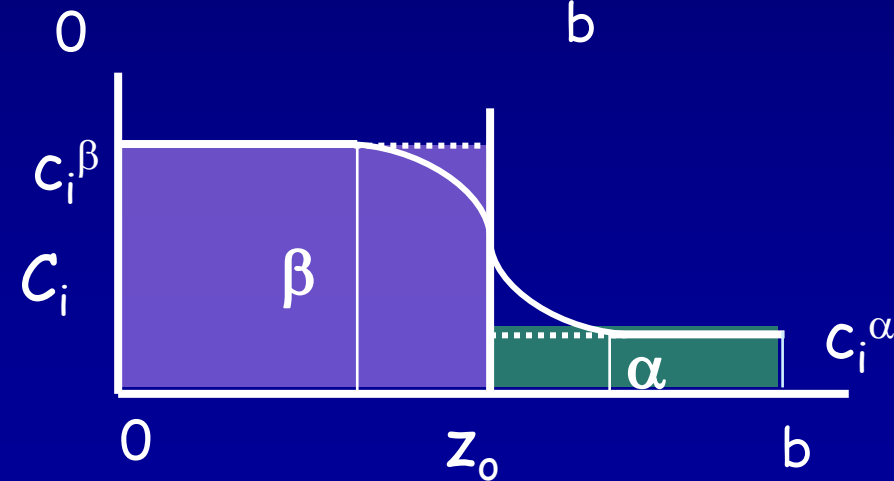
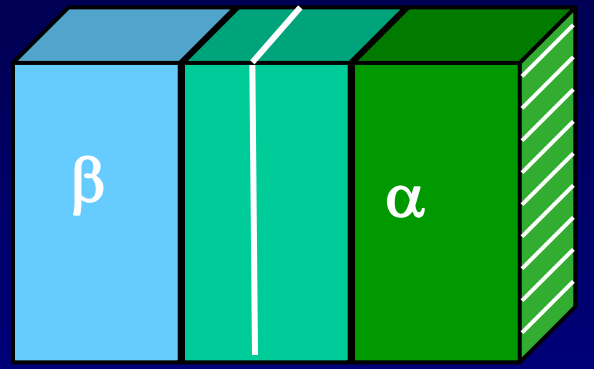
- Interfase → Superficie Plana
- Magnitudes de Exceso Superficial

$$\left\{ \begin{array}{l} \bullet V^\sigma = 0 \Rightarrow V = V^\alpha + V^\beta \\ \bullet U = U^\alpha + U^\beta + U^\sigma \\ \bullet S = S^\alpha + S^\beta + S^\sigma \\ \bullet n_i = n_i^\alpha + n_i^\beta + n_i^\sigma \end{array} \right.$$

Iguales
 $V, U, S, n_i \dots$
 $C_i^\alpha, C_i^\beta \dots$
que el sistema real

4. Termodinámica de Superficies en Sistemas Multicomponentes

EL VALOR DE n_i^σ DEPENDE DE LA POSICIÓN DE LA SUPERFICIE DIVISORIA



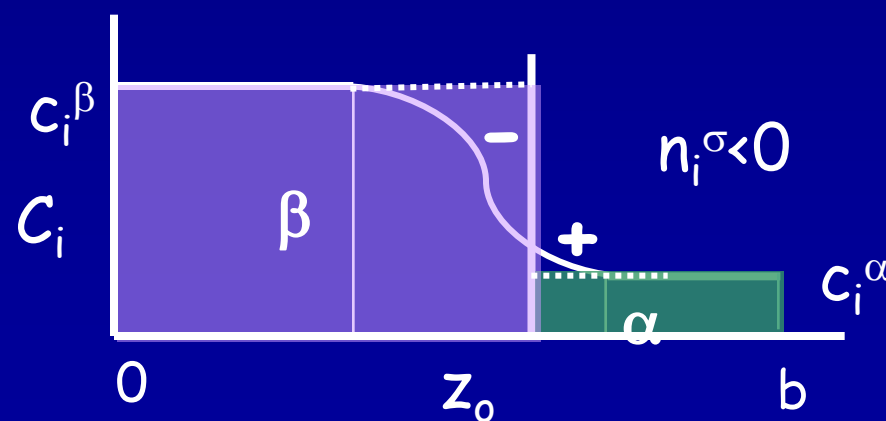
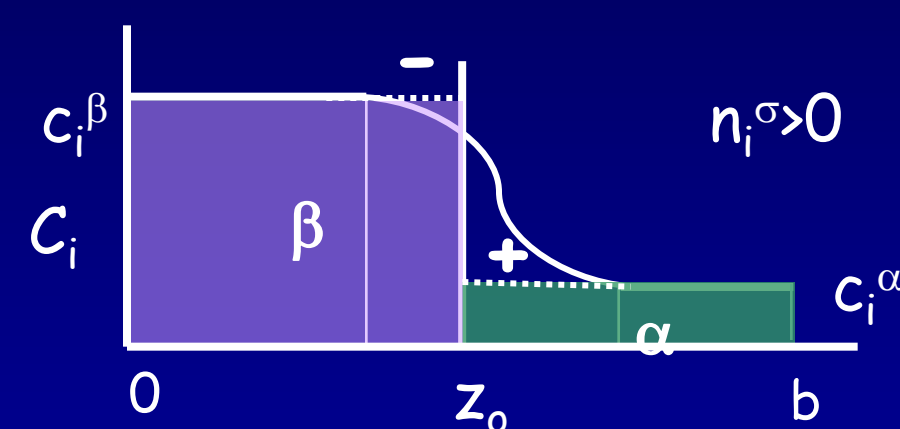
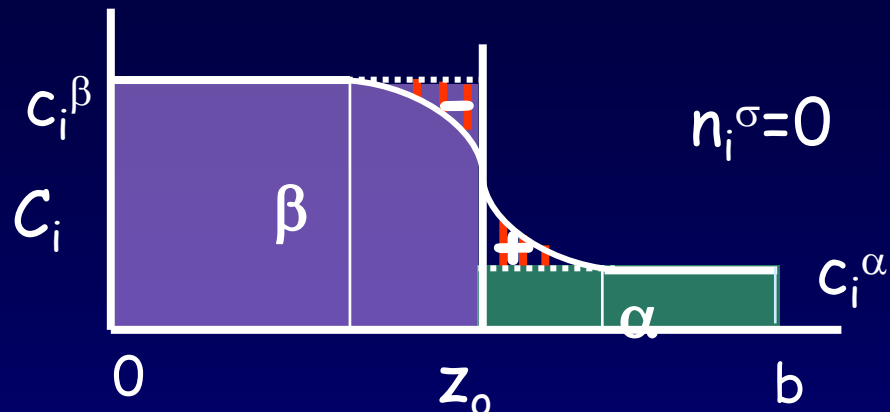
$$n_i^\sigma = n_i - n_i^\alpha - n_i^\beta$$

$$n_i = \int C_i dV = \int_0^b C_i A dz = A \int_0^b C_i dz$$

$$n_i^\alpha = A \int_{z_0}^b C_i^\alpha dz \quad n_i^\beta = A \int_0^{z_0} C_i^\beta dz$$

$$\begin{aligned} n_i^\sigma &= A \left[\int_0^b C_i dz - \int_0^{z_0} C_i^\beta dz - \int_{z_0}^b C_i^\alpha dz \right] = \\ &= A \left[\left(\int_0^{z_0} C_i dz - \int_0^{z_0} C_i^\beta dz \right) + \left(\int_{z_0}^b C_i dz - \int_{z_0}^b C_i^\alpha dz \right) \right] \end{aligned}$$

4. Termodinámica de Superficies en Sistemas Multicomponentes



$$n_i^\sigma = A \left[\left(\int_0^{z_0} C_i dz - \int_0^{z_0} C_i^\beta dz \right) + \left(\int_{z_0}^b C_i dz - \int_{z_0}^b C_i^\alpha dz \right) \right]$$

-

+

4. Termodinámica de Superficies en Sistemas Multicomponentes

Isoterma de Adsorción de Gibbs

$$dU = TdS - PdV + \gamma dA + \sum_i \mu_i dn_i$$

Proceso Reversible, Interfase plana

$$\left. \begin{aligned} dU^\alpha &= TdS^\alpha - PdV^\alpha + \sum_i \mu_i dn_i^\alpha \\ dU^\beta &= TdS^\beta - PdV^\beta + \sum_i \mu_i dn_i^\beta \end{aligned} \right\}$$

Fases α y β del modelo

$$dU^\sigma = dU - dU^\alpha - dU^\beta =$$

$$= TdS - PdV + \gamma dA + \sum_i \mu_i dn_i - TdS^\alpha + PdV^\alpha - \sum_i \mu_i dn_i^\alpha - TdS^\beta + PdV^\beta - \sum_i \mu_i dn_i^\beta$$

$$= \underbrace{T(dS - dS^\alpha - dS^\beta)}_{= dS^\sigma} - \underbrace{P(dV - dV^\alpha - dV^\beta)}_{= 0} + \gamma dA + \sum_i \underbrace{\mu_i (dn_i - dn_i^\alpha - dn_i^\beta)}_{= dn_i^\sigma}$$

4. Termodinámica de Superficies en Sistemas Multicomponentes

Isoterma de Adsorción de Gibbs

$$dU^\sigma = TdS^\sigma + \gamma dA + \sum_i \mu_i dn_i^\sigma$$

$$\int_1^2 dU^\sigma = T \int_1^2 dS^\sigma + \gamma \int_1^2 dA + \sum_i \mu_i \int_1^2 dn_i^\sigma$$

$$U_2^\sigma - U_1^\sigma = T(S_2^\sigma - S_1^\sigma) + \gamma(A_2 - A_1) + \sum_i \mu_i (n_{i,2}^\sigma - n_{i,1}^\sigma)$$

Tomando como referencia la superficie de área nula

$$U^\sigma = TS^\sigma + \gamma A + \sum_i \mu_i n_i^\sigma$$

Energía Superficie divisoria

4. Termodinámica de Superficies en Sistemas Multicomponentes

Isoterma de Adsorción de Gibbs

$$dU^\sigma = TdS^\sigma + \gamma dA + \sum_i \mu_i dn_i^\sigma$$

$$U^\sigma = TS^\sigma + \gamma A + \sum_i \mu_i n_i^\sigma$$

Energía Superficie divisoria

Tomando la diferencial respecto a todas las variables:

$$dU^\sigma = TdS^\sigma + S^\sigma dT + \gamma dA + Ad\gamma + \sum_i \mu_i dn_i^\sigma + \sum_i n_i^\sigma d\mu_i$$

$$S^\sigma dT + Ad\gamma + \sum_i n_i^\sigma d\mu_i = 0$$

Ec. Gibbs-Duhem Superficial

$$Ad\gamma = - \sum_i n_i^\sigma d\mu_i$$

Isoterma de Adsorción de Gibbs

$$\Gamma_i = \frac{n_i^\sigma}{A}$$

Concentración de exceso superficial

$$d\gamma = - \sum_i \Gamma_i d\mu_i$$

4. Termodinámica de Superficies en Sistemas Multicomponentes

Isoterma de Adsorción de Gibbs

$$d\gamma = - \sum_i \Gamma_i d\mu_i$$

$$\Gamma_1 = \frac{n_1^\sigma}{A} = 0$$

$$\Gamma_{i(1)}^\sigma = \frac{n_{i(1)}^\sigma}{A}$$

Isoterma de Adsorción de Gibbs

Definimos situación Sup. Divisoria

Ads. Sup. de Exceso del componente i
relativa al componente 1

- Si $\Gamma_{i(1)} > 0$ $(n_i/n_1)_{\text{interfase}} > (n_i/n_1)_{\text{fase}}$ Int. se enriquece en i
- Si $\Gamma_{i(1)} < 0$ $(n_i/n_1)_{\text{interfase}} < (n_i/n_1)_{\text{fase}}$ Int. se empobrece en i

$$d\gamma = - \sum_{i \neq 1} \Gamma_{i(1)} d\mu_i$$

Isoterma de Ads. de Gibbs usando
adsorciones sup. de exceso relativas

4. Termodinámica de Superficies en Sistemas Multicomponentes

Isoterma de Adsorción de Gibbs

$$d\gamma = -\Gamma_{2(1)} d\mu_2$$

Isoterma Ads. Sistema de 2 componentes

$$\mu_2 = \mu_2^0(T, P) + RT \ln a_2$$

$$d\mu_2 = RT d(\ln a_2)$$

T cte

$$\mu_2 = \mu_2^0(T, P) + RT \ln C_2 / C_2^0 \quad d\mu_2 = RT d(\ln C_2 / C_2^0) \quad \text{Dis. diluida (ideal)}$$

$$d\gamma = -RT \Gamma_{2(1)} d(\ln C_2 / C^0) = -RT \Gamma_{2(1)} \frac{dC_2}{C_2}$$

$$\left(\frac{\partial \gamma}{\partial C_2} \right)_T = -\frac{RT}{C_2} \Gamma_{2(1)}$$

4. Termodinámica de Superficies en Sistemas Multicomponentes

$$\left(\frac{\partial \gamma}{\partial C_2}\right)_T = -\frac{RT}{C_2} \Gamma_{2(1)}$$

$\left(\frac{\partial \gamma}{\partial C_2}\right)_T < 0 \Rightarrow \Gamma_{2(1)} > 0 \Rightarrow$ si $C_2 \uparrow \gamma \downarrow$ ADSORCIÓN

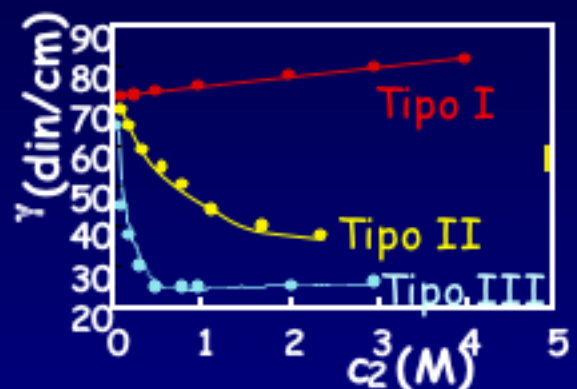
$\left(\frac{\partial \gamma}{\partial C_2}\right)_T > 0 \Rightarrow \Gamma_{2(1)} < 0 \Rightarrow$ si $C_2 \uparrow \gamma \uparrow$ DESORCIÓN

4. Termodinámica de Superficies en Sistemas Multicomponentes

Tipo I

Sales inorgánicas y compuesto orgánicos
muy solubles

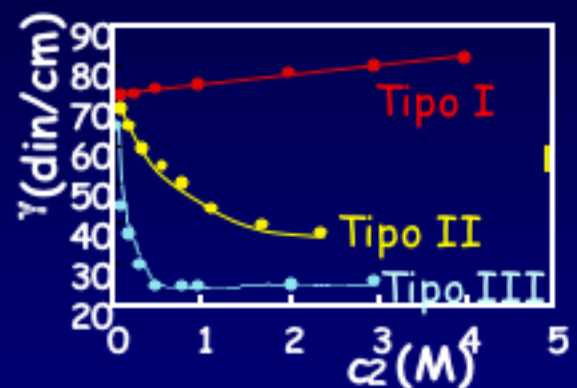
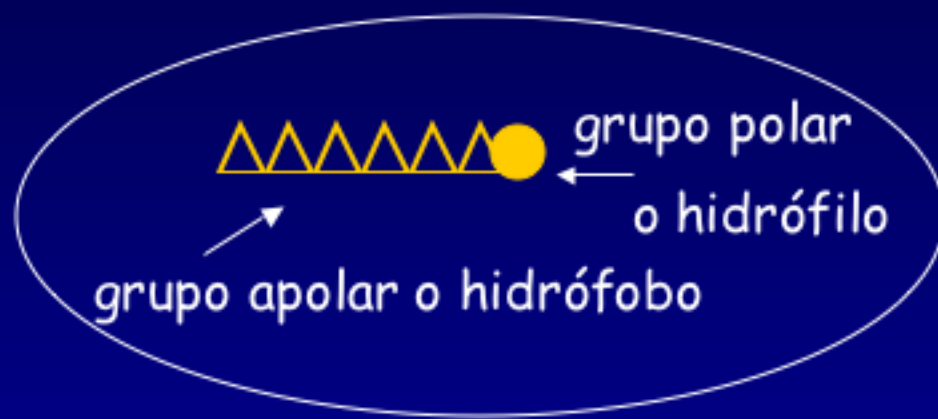
$$\left(\frac{\partial \gamma}{\partial C_2} \right)_T = - \frac{RT}{C_2} \Gamma_{2(1)}$$



4. Termodinámica de Superficies en Sistemas Multicomponentes

Tipos II y III

$$\left(\frac{\partial \gamma}{\partial C_2} \right)_T = - \frac{RT}{C_2} \Gamma_{2(1)}$$



4. Termodinámica de Superficies en Sistemas Multicomponentes

Tipo III

grupo apolar largo



Ej:

*Sales de ácidos orgánicos



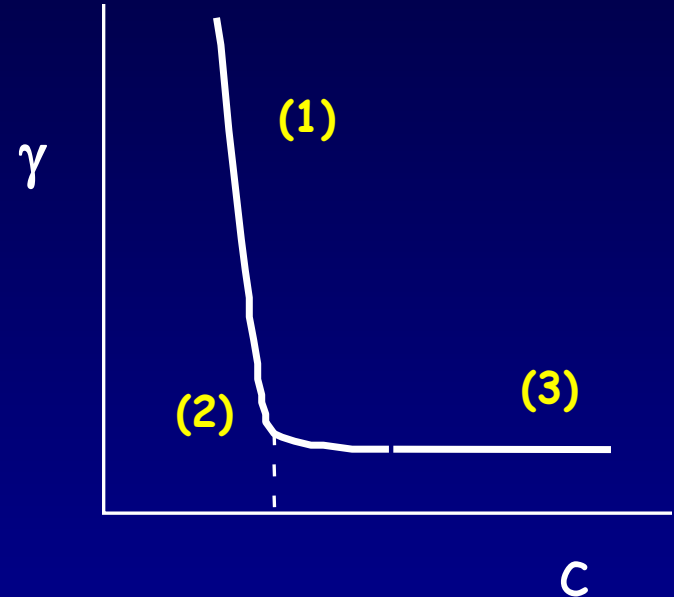
*Sales de sulfatos de alquilo



*Sales de sulfonatos de alquilo



*Sales de aminas cuaternarias



(1) adsorción superficial del tensoactivo

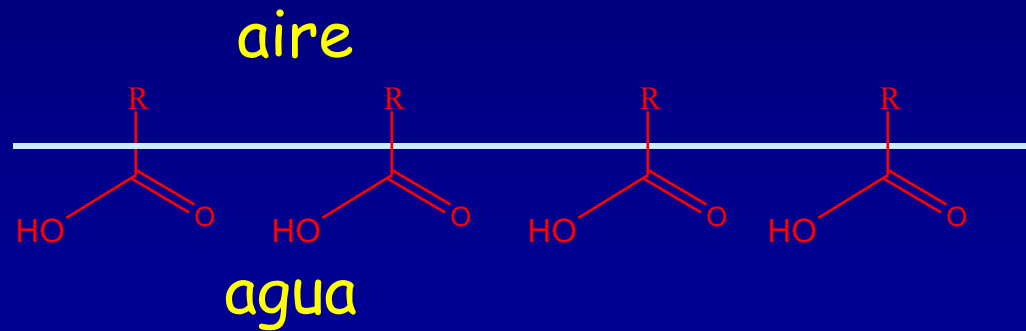
(2) saturación completa de la superficie

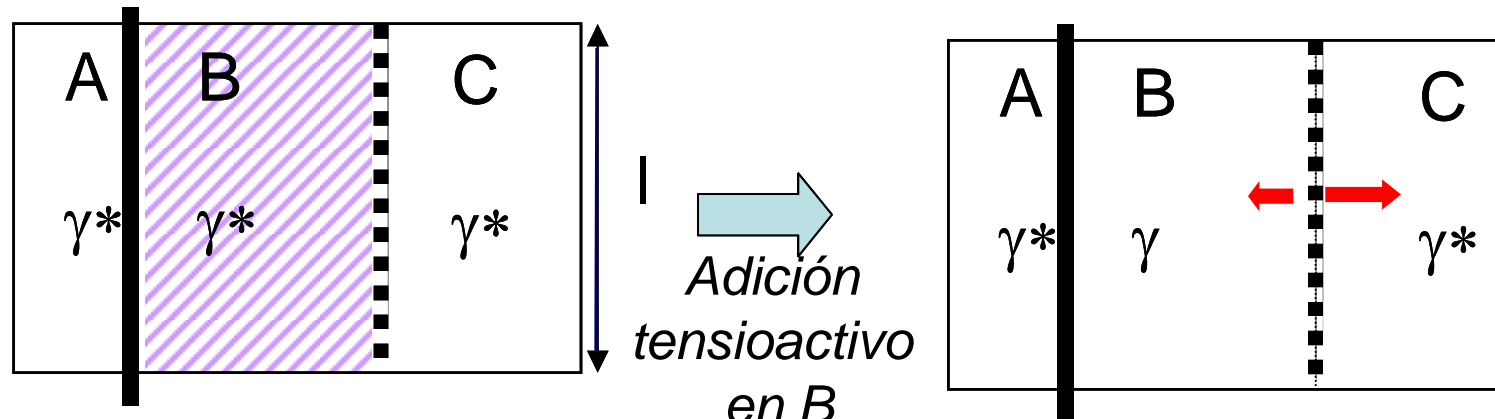
(3) el soluto se asocia en estructuras polimoleculares,



Algunos tensioactivos se acumulan completamente en la interfase

- Todo el soluto se acumula en la interfase $\Gamma_2 = n_2 \sigma / A \approx n_2 / A$





Barrera
ajustable

Flotador

$$F_x = l\gamma^* - l\gamma$$

Fuerza sobre el flotador

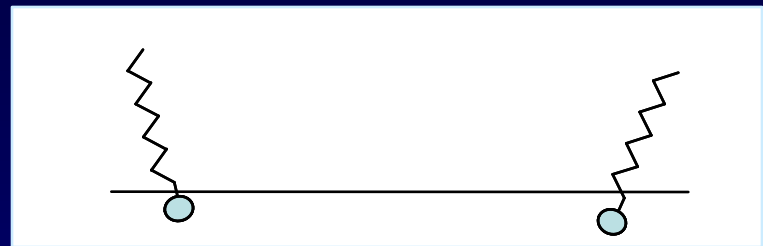
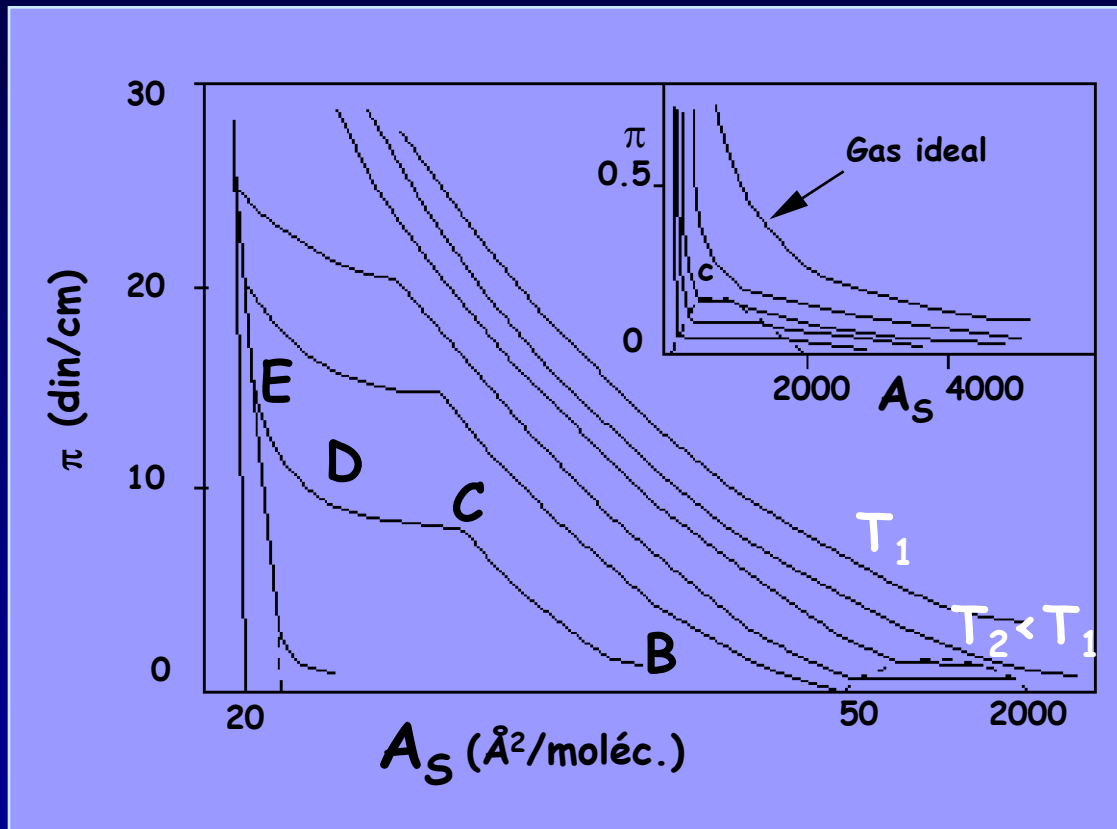
$$\pi = \frac{F_x}{l} = \gamma^* - \gamma$$

Presión Superficial

$$A_s = \frac{A}{n_i N_A} = \frac{1}{\Gamma_i N_A}$$

Área Ocupada por Molécula

GASES IDEALES Bidimensionales:

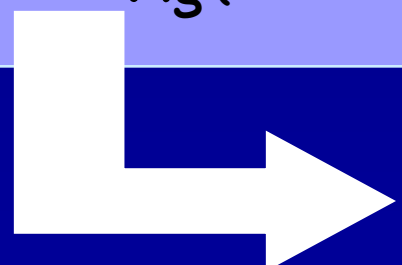
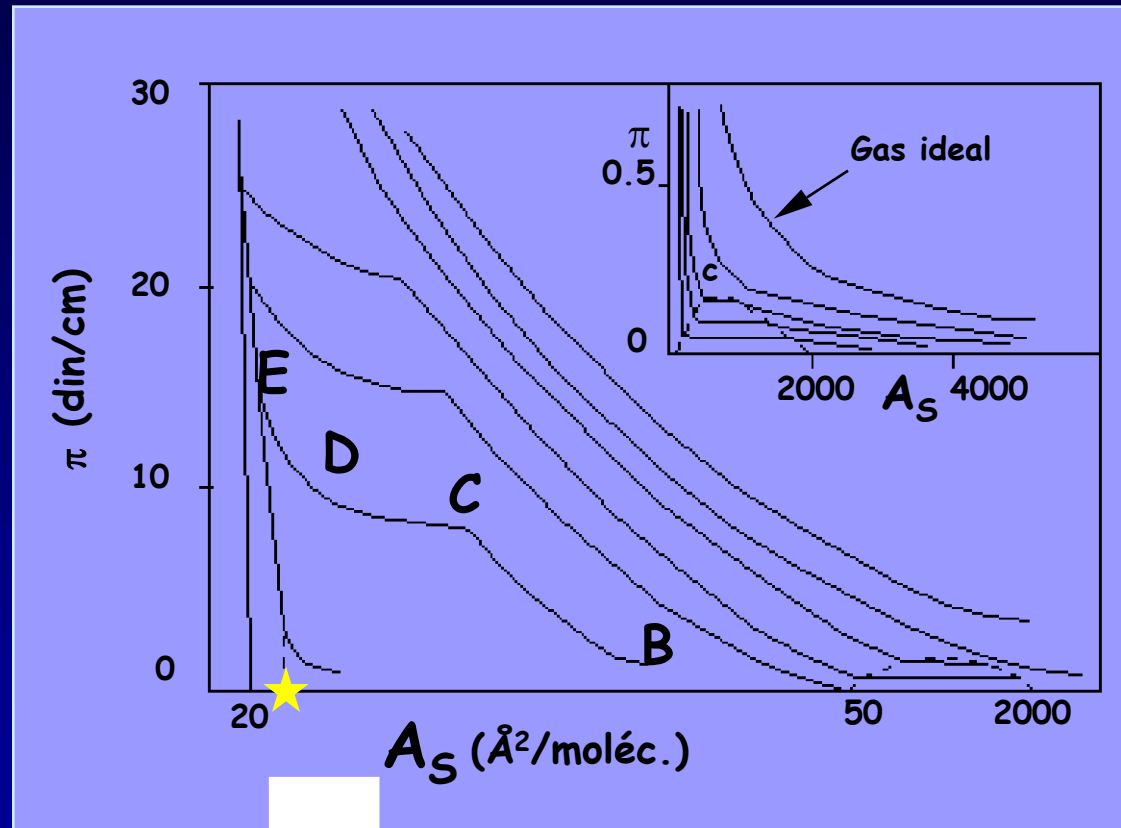


$$\pi \cdot A = n \cdot RT$$

$$\pi = \frac{n}{A} \cdot RT = \Gamma \cdot RT$$

$$\pi \cdot \frac{A}{nN_A} = \frac{R}{N_A} T \Rightarrow \pi \cdot A_S = kT$$

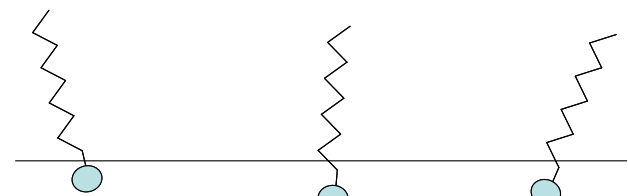
Si $T \downarrow$ o $\Gamma_2 \uparrow \Rightarrow$ interac. intermolec. \uparrow
 \Downarrow **GASES REALES:**



$\text{CH}_3(\text{CH}_2)_{16}\text{COOH}$ 20.5 \AA^2

$\text{CH}_3\text{CH}(\text{CH}_2)_{14}\text{COOH}$ 32 \AA^2 $[\text{CH}_3\text{-Ph-O}]_3\text{-P=O}$ 95 \AA^2

B-C "Gas Bidimensional"



D-E "Líquido Bidimensional"

